1 Symbole, Begriffe, Normen

1 Symbols, Terms, Standards

Symbole und Begriffe der verwendeten Symbols and Terms of Magnitudes Used: Größen:

Symbole Symbols	Begriffe	Terms		
C	Kapazität; Kollektor	Capacitance, collector		
C_{ISS}	Eingangskapazität	Input capacitance		
C_{OSS}	Ausgangskapazität	Output capacitance		
C_{rss}	Rückwirkungskapazität	Reverse transfer capacitance		
C_{Mi}	Millerkapazität	Miller capacitance		
D	Tastverhältnis/Tastgrad $D = t_p/T$	Pulse duty factor/duty cycle $D = t_p/T$		
$\mathrm{d}i_{F}/\mathrm{d}t$	Dioden-Stromsteilheit	Rate of diode current rise		
$\mathrm{d}i/\mathrm{d}t$	Stromsteilheit allgemein	Rate current rise general		
E	Energie	Energy		
E_{off}	Abschaltverlust-Energie	Turn-off loss energy		
E_{on}	Einschaltverlust-Energie	Turn-on loss energy		
f	Frequenz	Frequency		
G	Gate	Gate		
gfs	Übertragungssteilheit	Transconductance		
I	Strom	Current		
i	Strom Augenblickswert	Current, instantaneous value		
I_{C}	Kollektor-Gleichstrom	DC collector current		
I_{CES}	Kollektor-Reststrom	Collector cutoff current		
I _{Cpuls}	Kollektor-Gleichstrom, gepulst	DC collector current, pulsed		
I_{F}	Dioden Durchlaßstrom (allgemein)	Diode forward current (general)		
I_{FSM}	Dioden-Stoßstromscheitelwert (50 Hz-Sinus)	Diode current surge crest value (50-Hz sinusoidal)		

Symbole Symbols	Begriffe	Terms		
I_{GES}	Gate-Emitter-Leckstrom	Gate-emitter leakage current		
I_{L}	Strom durch Induktivität	Current through inductance		
I_{RRM}	Diodenrückstromspitze	Maximum reverse recovery current		
\overline{L}	Induktivität	Inductance		
L_{L}	Last-Induktivität	Load inductance		
$\overline{L_{p}}$	Parasitäre Induktivität (z.B. Leitungen)	Parasitic inductance (e.g. lines)		
P_{tot}	Gesamtverlustleistung	Power dissipation		
Q_{Gate}	Gate-Ladung	Gate charge		
Q_{rr}	Sperrverzögerungsladung	Reverse recovered charge		
R_{G}	Gate-Vorwiderstand	Gate resistance		
R_{GE}	Gate-Emitter-Widerstand	Gate-emitter resistance		
R_{Gon}	Gate-Einschalt-Widerstand	Gate-turn on resistance		
R_{Goff}	Gate-Ausschalt-Widerstand	Gate-turn off resistance		
R_{thCH}	Wärmewiderstand, Gehäuse- Kühlkörper	Thermal resistance, case to heat sink		
R_{thHA}	Wärmewiderstand, Kühlkörper- Umgebung	Thermal resistance, heat sink to ambient		
R_{thJA}	Wärmewiderstand, Chip-Umgebung	Thermal resistance, chip to ambient		
R_{thJC}	Wärmewiderstand, Chip-Gehäuse	Thermal resistance, chip to case		
\overline{T}	Periodendauer; Temperatur	Cycle time; temperature		
T_{A}	Umgebungstemperatur	Ambient temperature		
T_{C}	Gehäusetemperatur	Case temperature		
t	Zeit allgemein	Time, general		
<i>t</i> ₁	Zeitpunkt	Instant time		
t_{doff}	Ausschaltverzögerungszeit	Turn-off delay time		

Symbole Symbols	Begriffe	Terms		
t_{don}	Einschaltverzögerungszeit	Turn-on delay time		
t_{f},t_{F}	Fallzeit	Fall time		
T_{j}	Chip- bzw. Betriebstemperatur	Chip or operating temperature		
t_{p}	Pulsdauer bzw. Einschaltdauer	Pulse duration time		
$T_{j(max)}$	Maximal zulässige Chip- bzw. Betriebstemperatur	Maximum permissible chip or operating temperature		
$t_{d(off)}$	Ausschaltzeit	Turn-off time		
$t_{d(on)}$	Einschaltzeit	Turn-on time		
t_{r}	Anstiegszeit	Rise time		
t_{rr}	Sperrverzögerungszeit	Reverse recovery time		
T_{stg}	Lagertemperatur	Storage temperature		
$T_{\sf sold}$	Löttemperatur	Soldering temperature		
V	Spannung Augenblickswert	Voltage, instantaneous value		
$V_{(BR)CES}$	Kollektor-Emitter-Durchbruch- spannung	Collector-emitter breakdown voltage		
$V_{\rm CC}$	Versorgungsspannung	Supply voltage		
$V_{\sf CE}$	Kollektor-Emitter-Spannung	Collector-emitter voltage		
V_{CEsat}	Kollektor-Emitter-Sättigungsspannung	Collector-emitter saturation voltage		
V_{CGR}	Kollektor-Gate-Spannung	Collector-gate voltage		
V_{F}	Dioden-Durchlaßspannung	Diode forward voltage		
V_{GE}	Gate-Emitter-Spannung	Gate-emitter voltage		
$V_{GE(th)}$	Gate-Schwellenspannung (IGBT)	Gate threshold voltage (IGBT)		
Z_{thJC}	Transienter Wärmewiderstand, Chip-Gehäuse	Transient thermal resistance, chip to case		

Normen Standards

Folgende Normen wurden in diesem Datenbuch verwendet. Spezielle Einzelheiten können nachfolgenden Unterlagen entnommen werden:

The following standards were used for this Data Book. Specific details can be taken from the documents listed below:

Normen, Begriffe und Definitionen Standards, Terms and Definitions

DIN 40 900	T5	Halbleiter, Schaltzeichen	Semiconductors, Graphical Symbols
DIN 41 781		Diodenbegriffe	Diode Terms and Definitions
DIN 41 785	T3	Leistungshalbleiter, Kurzzeichen	Power Semiconductors, Letter Symbols
DIN 41 854		Bipolare Transistoren, Begriffe	Bipolar Transistors, Terms and Definitions
DIN 41 858		Feldeffekttransistoren, Begriffe	Field Effect Transistors, Terms and Definitions
IEC 148 B		Halbleiterbauelemente, Symbole allgemein	Semiconductor Devices, Symbols, General

•		ättern, Meßverfahren ets, Test Procedures		
DIN 41 791 T1		Allgemeines zu Datenblättern	General Remarks on Data Sheet Details	
	T5	Datenblattangaben, Leistungstransistoren	Data Sheet Details, Power Transistors	
	Т6	Datenblattangaben, Schalttransistoren	Data Sheet Details, Switching Transistors	
DIN 41 792	T1	Meßverfahren, Transistoren	Test Procedures, Transistors	
	T2	Meßverfahren, Dioden	Test Procedures, Diodes	
	Т3	Meßverfahren, Wärmewider- stand	Test Procedures, Thermal Resistance	
DIN IEC 747 T1		Allgemeines zu Grenz- und Kenndaten, Meßverfahren	General Remarks on Maximum Ratings and Characteristics, Test Procedures	
	T2	Dioden	Diodes	
IEC 747	T7	Bipolare Schalttransistoren	Bipolar Switching Transistors	
DIN IEC 747 T8		Feldeffekttransistoren	Field Effect Transistors	
Zuverlässigk Reliability	eit			
DIN 41 794	Т3	Transistoren	Transistors	
	T8	Dioden	Diodes	
DIN IEC 68		Tests	Tests	
MIL-STD 883C		Testmethoden, z.B. Methode 3015.6 für ESD 1)	Test Methods, e.g. Method 3015.6 for ESD 1)	
MIL-STD 19500		Ausfallkriterien	Failure Criteria	
SN 73 257		ESD	ESD	
A66762-A4013-A58		Verfahrensanweisung für ESD	QA Process Instructions for ESD	

¹⁾ **ESD ≜ E**lectro**s**tatic **d**ischarge / Elektrostatische Entladung

SIEMENS

1.1 Anordnung der Indizes

Spannungen

Es werden zwei Indizes verwendet, die die Punkte bezeichnen, zwischen denen die Spannung gemessen wird. Positiven Zahlenwerten der Spannungen entsprechen positive Potentiale des mit dem ersten Index bezeichneten Punkt (Bezugspunkt), z.B. $V_{\rm GE}$.

Ströme

Mindestens ein Index wird verwendet. Positiven Zahlenwerten des Stroms entsprechen positive Ströme, die an dem mit dem ersten Index bezeichneten Anschluß in das Bauelement eintreten, z.B. $I_{\rm GE}$.

Ein zusätzlicher 3. Index gibt den Beschaltungszustand zwischen dem 2. Index und dem nicht bezeichneten 3. Anschluß an.

1.1 Arrangement of Subscripts

Voltages

Two subscripts are used to designate the points between which the voltage is measured. Positive numerical values of the voltages equate to positive potentials of the point specified by the first subscript (reference point), e.g. $V_{\rm GE}$.

Currents

At least one subscript is used. Positive numerical values of the current equate to positive currents entering the component at the connection specified by the first subscript, e.g. $I_{\rm GE}$.

An additional third subscript indicates the circuit status between the second subscript and the unspecified third connection.

Beispiele		Examples				
$V_{(BR)CES}$	=	Durchbruchspannung zwischen Kollektor- und Emitteranschluß mit kurzgeschlossenem Gate- Emitter-Anschluß.	$V_{(BR)CES}$	=	Breakdown voltage between collector and emitter connections with shorted gate-emitter connection.	
I_{CEV}	=	Strom in Kollektor-Emitter- Richtung mit Spannungs- beschaltung zwischen Gate- Emitter-Anschluß.	I_{CEV}	=	Current in collector-emitter direction with voltage connected across the gate-emitter connection.	
3. Buchsta	3. Buchstabe			Third letter		
S	=	kurzgeschlossen	s	=	Shorted	
R	=	Widerstandsbeschaltung	R	=	Resistive connection	
V	=	Spannungsbeschaltung	V	=	Voltage connection	
X	=	Widerstands- und Spannungsbeschaltung	X	=	Resistive and voltage connection	

2 Grenzwerte

Die in den Datenblättern angegebenen Grenzwerte sind absolute Werte. Wird einer dieser Grenzwerte überschritten, so kann das zur Zerstörung des Halbleiters führen, auch wenn nicht alle anderen Grenzwerte ausgenutzt werden. Wenn nicht anders angegeben, gelten die Werte bei einer Temperatur von 25 °C.

2.1 Kollektor-Emitter-Spannung V_{CE}

Maximal zulässiger Wert der Spannung zwischen den Kollektor-Emitter-Anschlüssen bei kurzgeschlossener Gate-Emitter-Strecke.

2.2 Kollektor-Gate-Spannung V_{CGR}

Maximal zulässiger Wert der Spannung zwischen dem Kollektor- und dem Gate-Anschluß bei Überbrückung der Gate-Emitter-Anschlüsse mit einem vorgegebenen Widerstand.

2.3 Kollektor-Gleichstrom $I_{\rm C}$

Maximal zulässiger Wert des Gleichstroms über den Kollektor-Anschluß.

2.4 Kollektor-Strom, gepulst I_{Cpuls}

Maximal zulässiger Scheitelwert des Stroms über den Kollektor-Anschluß bei Pulsbetrieb. Die Pulsbreite und das Puls-Pausenverhältnis ist aus dem Diagramm "Zulässiger Betriebsbereich" zu entnehmen.

2.5 Gate-Emitter-Spannung $V_{\rm GE}$

Maximal zulässiger Wert der Spannung zwischen den Gate-Emitter-Anschlüssen.

2.6 Maximale Verlustleistung P_{tot}

Der maximal zulässige Wert der Verlustleistung, die der Transistor abführen kann.

2 Maximum Ratings

The maximum ratings presented in the data sheets are absolute values. If one of these maximum ratings is exceeded, it may result in breakdown of the semiconductor, even if the other maximum ratings are not all used to their limits. Unless specified to the contrary, the values apply at a temperature of 25 °C.

2.1 Collector-Emitter Voltage V_{CE}

The maximum permissible value of the voltage across the collector-emitter connections with shorted Gate and Emitter.

2.2 Collector-Gate Voltage V_{CGR}

The maximum permissible value of the voltage across the collector and gate connections when the gate-emitter connections are bridged by a specified resistance.

2.3 Collector Current $I_{\rm C}$

The maximum permissible value of the direct current across the collector connection.

2.4 Collector Current, Pulsed I_{Cpuls}

The maximum permissible crest value of the current across the collector connection in pulsed operation. The pulse width and pulse spacing can be taken from the "Safe Operating Area" diagram.

2.5 Gate-Emitter Voltage $V_{\rm GE}$

The maximum permissible value of the voltage across the gate-emitter connections.

2.6 Maximum Power Dissipation P_{tot}

The maximum permissible power loss that can be dissipated by the transistor.

Erläuterungen der Datenblattwerte Explanation of Data Sheet Parameters

2.7 Betriebstemperaturbereich T_i

Bereich der zulässigen Chiptemperatur, innerhalb dessen der Transistor dauernd betrieben werden darf.

2.8 Lagertemperaturbereich T_{stg}

Temperaturbereich, innerhalb dessen der Transistor ohne elektrische Beanspruchung gelagert oder transportiert werden darf.

2.9 Wärmewiderstand Chip-Gehäuse R_{thJC} oder R_{thJA}

Quotient aus der Differenz zwischen der Chip- und der Bezugstemperatur am Gehäuse, oder der Umgebung einerseits und der abgeführten Verlustleistung andererseits, bei thermischem Gleichgewicht.

2.10 Feuchteklasse

Die Angaben sind nach DIN 40040 spezifiziert.

2.11 Prüfklasse

Die Angaben sind nach DIN IEC 68-1 spezifiziert.

2.7 Operating Temperature Range T_i

The range of the permissible chip temperature within which the transistor may be continuously operated.

2.8 Storage Temperature Range T_{stg}

The temperature range within which the transistor may be stored or transported without electrical stressing.

2.9 Chip to Case Thermal Resistance R_{thJC} or R_{thJA}

Quotient from the difference between the chip temperature and the reference temperature at the case or ambient air on the one hand and the dissipated power on the other hand, at thermal equilibrium.

2.10 Humidity Class

Details are specified in accordance with DIN 40040.

2.11 Test Class

Details are specified in accordance with DIN IEC 68-1.

Erläuterungen der Datenblattwerte Explanation of Data Sheet Parameters

3 Kennwerte

Die angegebenen Werte sind als Mittelwerte aufzufassen. In vielen Fällen werden sie durch Angabe des Streubereichs ergänzt.

3.1 Kollektor-Emitter-Durchbruchspannung $V_{(BR)CES}$

Die Spannung zwischen den Kollektor-Emitter-Anschlüssen, gemessen bei spezifiziertem Kollektor-Strom und kurzgeschlossenen Gate-Emitter-Anschlüssen.

3.2 Gate-Schwellenspannung $V_{\text{GE(th)}}$ (Einsatzspannung)

Der Wert der Gate-Emitter-Spannung gemessen bei spezifiziertem Kollektor-Strom und spezifizierter Kollektor-Emitter-Spannung.

3.3 Kollektor-Reststrom I_{CES}

Der Wert des Kollektor-Stroms bei einer spezifizierten Kollektor-Emitter-Spannung und kurzgeschlossenen Gate-Emitter-Anschlüssen. Angegeben werden Werte bei 25 °C und einer spezifizierten höheren Chiptemperatur.

3.4 Gate-Emitter-Leckstrom I_{GES}

Der Wert des Gate-Leckstroms bei einer spezifizierten Gate-Emitter-Spannung und kurzgeschlossenen Kollektor-Emitter-Anschlüssen.

3.5 Übertragungssteilheit g_{fs}

Quotient aus der Änderung des Kollektor-Stroms und der Gate-Emitter-Spannung und spezifiziertem Kollektorstrom.

3 Characteristics

Specified values should be regarded as average values. In many cases the variation range is given as well.

3.1 Collector-Emitter Breakdown Voltage $V_{(BR)CES}$

The voltage across the collector-emitter connections measured at the specified collector current and shorted gate-emitter connections.

3.2 Gate Threshold Voltage $V_{\text{GE(th)}}$

The value of the gate-emitter voltage measured at the specified collector current and the specified collector-emitter voltage.

3.3 Collector Cutoff Current I_{CES}

The value of the collector current at a specified collector-emitter voltage and shorted gate-emitter connections. The details shown are values at 25 °C and a specified, higher chip temperature.

3.4 Gate-Emitter Leakage Current I_{GES}

The value of the gate leakage current at a specified gate-emitter voltage and shorted collector-emitter connections.

3.5 Transconductance g_{fs}

Quotient from the variation in collector current and gate-emitter voltage and the specified collector current.

3.6 Eingangskapazität C_{ISS}

Die Kapazität, gemessen zwischen dem Gate- und Emitter-Anschluß bei für Wechselspannung kurzgeschlossenen Kollektor-Emitter-Anschlüssen. Die Werte der Gleichspannung zwischen den Gate-Emitter- und den Kollektor-Emitter-Anschlüssen sowie die Meßfrequenz sind spezifiziert.

3.7 Ausgangskapazität C_{OSS}

Die Kapazität, gemessen zwischen dem Kollektor- und Emitter-Anschluß bei für Wechselspannung kurzgeschlossenen Gate-Emitter-Anschlüssen. Die Werte der Gleichspannung zwischen den Gate-Emitter- und den Kollektor-Emitter-Anschlüssen sowie die Meßfrequenz sind spezifiziert.

3.8 Rückwirkkapazität C_{rss}

Die Kapazität, gemessen zwischen dem Kollektor- und dem Gate-Anschluß bei Verbinden des Emitter-Anschlusses mit dem Schutzschirm der Meßbrücke (dreipolig). Die Werte der Gleichspannung zwischen den Gate-Emitter- und den Kollector-Emitter-Anschlüssen sowie die Meßfrequenz sind spezifiziert.

3.6 Input Capacitance C_{ISS}

The capacitance measured across the gate and emitter connections with collector-emitter connections shorted for AC voltage. The values of the DC voltage across the gate-emitter and collector-emitter connections are specified together with the test frequency.

3.7 Output Capacitance C_{OSS}

The capacitance measured across the collector and emitter connections with gate-emitter connections shorted for AC voltage. The values of the DC voltage across the gate-emitter and collector-emitter connections are specified together with the test frequency.

3.8 Reverse Transfer Capacitance C_{rss}

The capacitance measured across the collector and gate connections, the emitter connection being connected to the protective screen of the bridge (three-pole). The values of the DC voltage across the gate-emitter and collector-emitter connections are specified together with the test frequency.

4 Diagramme

4.1 Verlustleistung $P_{\text{tot}} = f(T)$

Angegeben ist die maximal zulässige Verlustleistung abhängig von der Gehäusetemperatur.

4.2 Typische Ausgangscharakteristik $I_{C} = f(V_{CE})$

Aufgetragen ist die typische Abhängigkeit des Kollektor-Stroms $I_{\rm C}$ von der Kollektor-Emitter-Spannung $V_{\rm CE}$ bei vorgegebener Gate-Emitter-Spannung $V_{\rm GE}$. Chiptemperatur $T_{\rm j}$ und Pulsbreite sind spezifiziert.

4.3 Zulässiger Betriebsbereich $I_C = f(V_{CE})$, (SOA-Diagramm)

Dargestellt ist der maximal zulässige Kollektor-Strom I_C abhängig von der Kollektor-Emitter-Spannung für V_{CF} Belastung mit Dauergleichstrom und mit unterschiedlicher Impulsen **Breite** bei spezifiziertem Puls-Pausen-Verhältnis. Die maximal zulässige Gehäusetemperatur ist spezifiziert. Innerhalb dieses Bereiches sind alle Werte von $I_{\rm C}$ und $V_{\rm CF}$ erlaubt, wenn der Transistor dabei thermisch nicht überlastet wird.

4.4 Typische Übertragungscharakteristik $I_C = f(V_{CE})$

Das Diagramm zeigt die typische Abhängigkeit des Kollektorstromes $I_{\rm C}$ von der Gate-Emitter-Spannung $V_{\rm GE}$, wobei die Chiptemperatur $T_{\rm j}$, die Pulsbreite und die Kollektor-Emitter-Spannung $V_{\rm CE}$ spezifiziert sind.

4 Diagrams

4.1 Power Dissipation $P_{\text{tot}} = f(T)$

The maximum permissible power dissipation is presented as a function of case temperature $T_{\rm C}$.

4.2 Typical Output Characteristic $I_C = f(V_{CE})$

A plot is made of the typical dependence of the collector current $I_{\rm C}$ on the collector-emitter voltage $V_{\rm CE}$ at a given gate-emitter voltage $V_{\rm GE}$. The chip temperature $T_{\rm j}$ and pulse width are specified.

4.3 Safe Operating Area $I_C = f(V_{CE})$, (SOA Diagram)

The maximum permissible collector current $I_{\rm D}$ is shown as a function of the collector-emitter voltage $V_{\rm CE}$ for loading with continuous direct current and with pulses of varying width at the specified pulse duty factor. The maximum permissible case temperature is specified. All values of $I_{\rm C}$ and $V_{\rm CE}$ are allowed within this operating area if the transistor is not thermally overloaded as a result.

4.4 Typical Transfer Characteristic $I_C = f(V_{CE})$

The diagram shows the typical dependence of the collector current $I_{\rm C}$ on the gate-emitter voltage $V_{\rm GE}$; the chip temperature $T_{\rm j}$, the pulse width and the collector-emitter voltage $V_{\rm CE}$ are specified.

4.5 Typische Kapazitäten $C = f(V_{CE})$

Dargestellt sind die typischen Kennlinien der Eingangskapazität $C_{\rm ISS}$, Ausgangskapazität $C_{\rm CSS}$ und Rückwirkungskapazität $C_{\rm rss}$ in Abhängigkeit von der Kollektor-Emitter-Spannung $V_{\rm CE}$ bei einer Frequenz f = 1 MHz und einer Gate-Emitter-Spannung $V_{\rm GF}$ = 0 V.

4.6 Typische und maximale Durchlaßkennlinie "Inversdiode" $I_F = f(V_F)$

Dargestellt ist die Abhängigkeit des gepulsten Dioden-Gleichstroms $I_{\rm F}$ von der Dioden-Durchlaßspannung $V_{\rm F}$. Die Pulsbreite $t_{\rm p}$ und die Chiptemperatur $T_{\rm j}$ sind spezifiziert.

4.7 Kollektorstrom $I_C = f(T)$

Gezeigt wird der maximal zulässige Kollektorgleichstrom in Abhängigkeit von der Gehäusetemperatur $T_{\rm C}$ bzw. Umgebungstemperatur $T_{\rm A}$ bei durchgeschaltetem Transistor, d.h. bei $V_{\rm GE}$ ### 15 V.

4.8 Transienter Wärmewiderstand $Z_{thJC} = f(t_p)$

Das Diagramm zeigt den Verlauf des transienten Wärmewiderstandes Z_{thJC} bei spezifiziertem Tastverhältnis $D = t_{\text{p}} / T$ in Abhängigkeit von der Belastungszeit t_{p} (Pulsbreite).

4.5 Typical Capacitances $C = f(V_{CE})$

The typical characteristics of the input capacitance $C_{\rm ISS}$, the output capacitance $C_{\rm OSS}$ and the reverse transfer capacitance $C_{\rm rss}$ are shown as a function of the collectoremitter voltage $V_{\rm CE}$ at a frequency f = 1 MHz and a gate-emitter voltage $V_{\rm GE}$ = 0 V.

4.6 Typical and Maximum "Inverse Diode" Forward Characteristic $I_F = f(V_F)$

The dependence is shown of the diode direct current $I_{\rm F}$ on the diode forward voltage $V_{\rm F}$. The pulse width $t_{\rm p}$ and the chip temperature $T_{\rm i}$ are specified.

4.7 Collector Current $I_C = f(T)$

The maximum permissible DC collector current is shown as a function of the case temperature $T_{\rm C}$ or ambient temperature $T_{\rm A}$ for a through-connected transistor, i.e. at $V_{\rm GE}$ ### 15 V.

4.8 Transient Thermal Resistance $Z_{thJC} = f(t_p)$

The diagram shows the variation of the transient thermal resistance Z_{thJC} for the specified pulse duty factor $D = t_{\text{p}} / T$ as a function of the loading time t_{p} (pulse width).

- 5 Meßschaltungen (entsprechend DIN IEC 747 T8)
- 5 Test Circuits (conforming with DIN IEC 747 T8)
- 5.1 Eingangskapazität C_{ISS}
- 5.1 Input Capacitance C_{ISS}

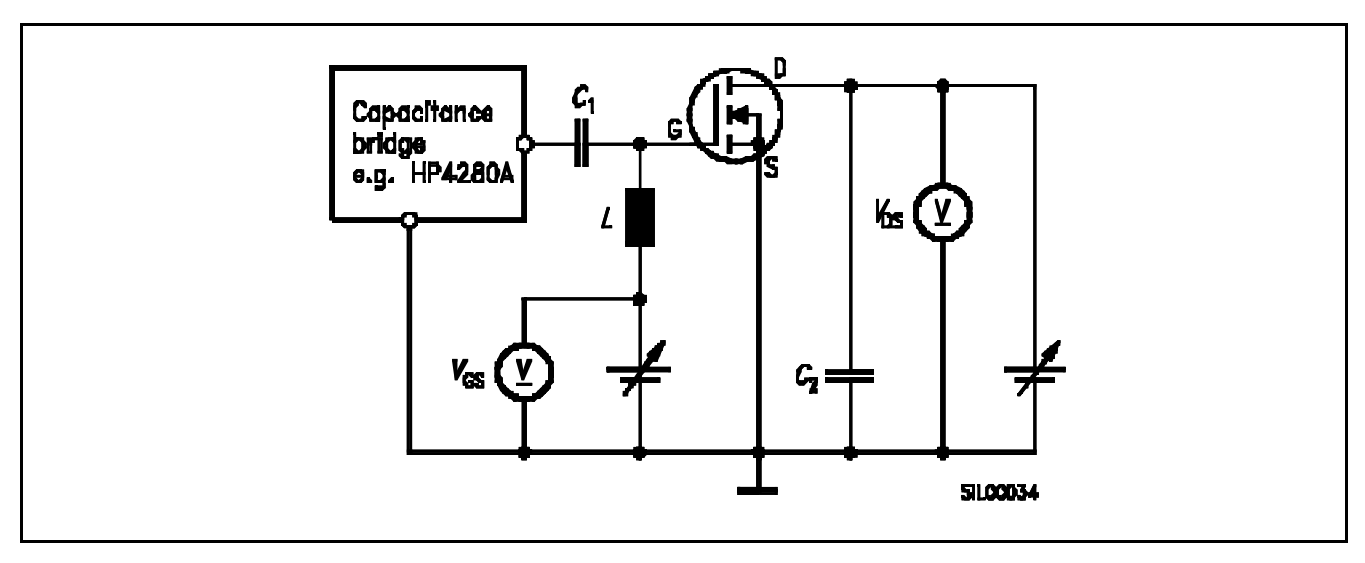


Bild 11 Prinzipschaltbild zum Messen der Eingangskapazität $C_{\rm ISS}$ beim Verwenden einer Meßbrücke ohne Gleichstromdurchgang

Die Kapazitäten C_1 und C_2 müssen für die Meßfrequenz einen ausreichenden Kurzschluß darstellen. Die Induktivität L soll die Gleichstromversorgung entkoppeln.

Figure 11 Basic Circuit Diagram for Measuring Input Capacitance $C_{\rm ISS}$ when Using a Bridge without the Passage of Direct Current

Capacitors C_1 and C_2 must form an adequate short-circuit for the test frequency. Inductor L decouples the DC supply.

5.2 Ausgangskapazität C_{OSS}

5.2 Output Capacitance C_{OSS}

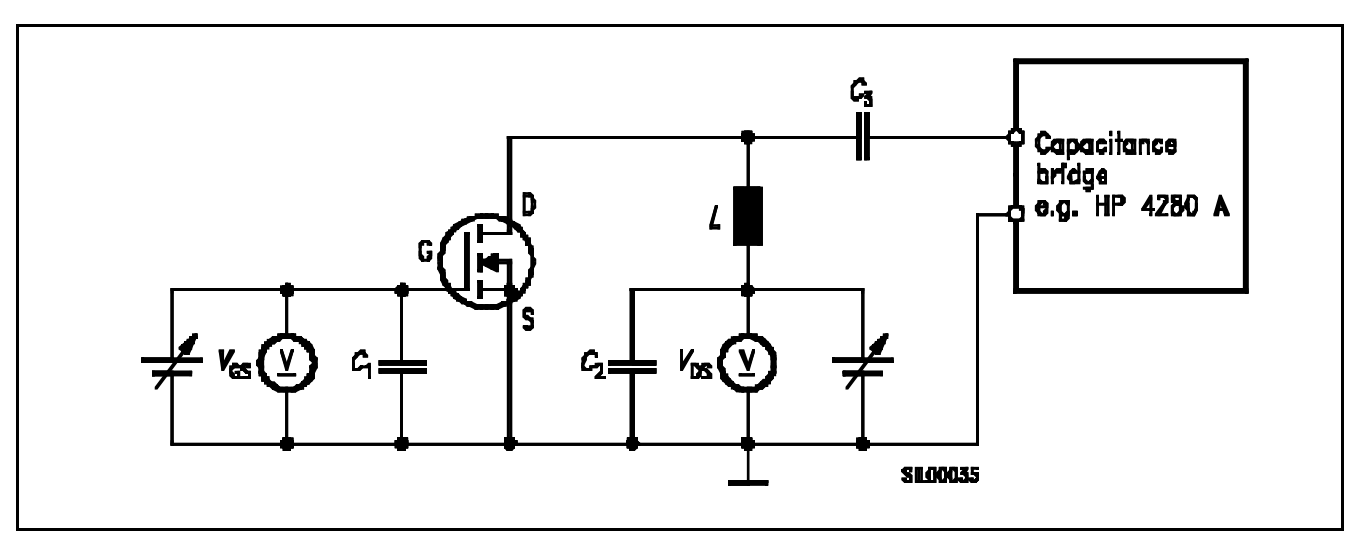


Bild 12 Prinzipschaltbild zum Messen der Ausgangskapazität $C_{\rm OSS}$ beim Verwenden einer Meßbrücke ohne Gleichstromdurchgang

Die Kapazitäten C_1 , C_2 und C_3 müssen für die Meßfrequenz einen ausreichenden Kurzschluß darstellen. Die Induktivität L entkoppelt die Gleichstromversorgung.

Figure 12 Basic Circuit Diagram for Measuring Output Capacitance $C_{\rm OSS}$ when Using a Bridge without the Passage of Direct Current

Capacitors C_1 , C_2 and C_3 must form an adequate short-circuit for the test frequency. Inductor L decouples the DC supply.

SIEMENS

5.3 Rückwirkungskapazität C_{rss}

5.3 Reverse Transfer Capacitance C_{rss}

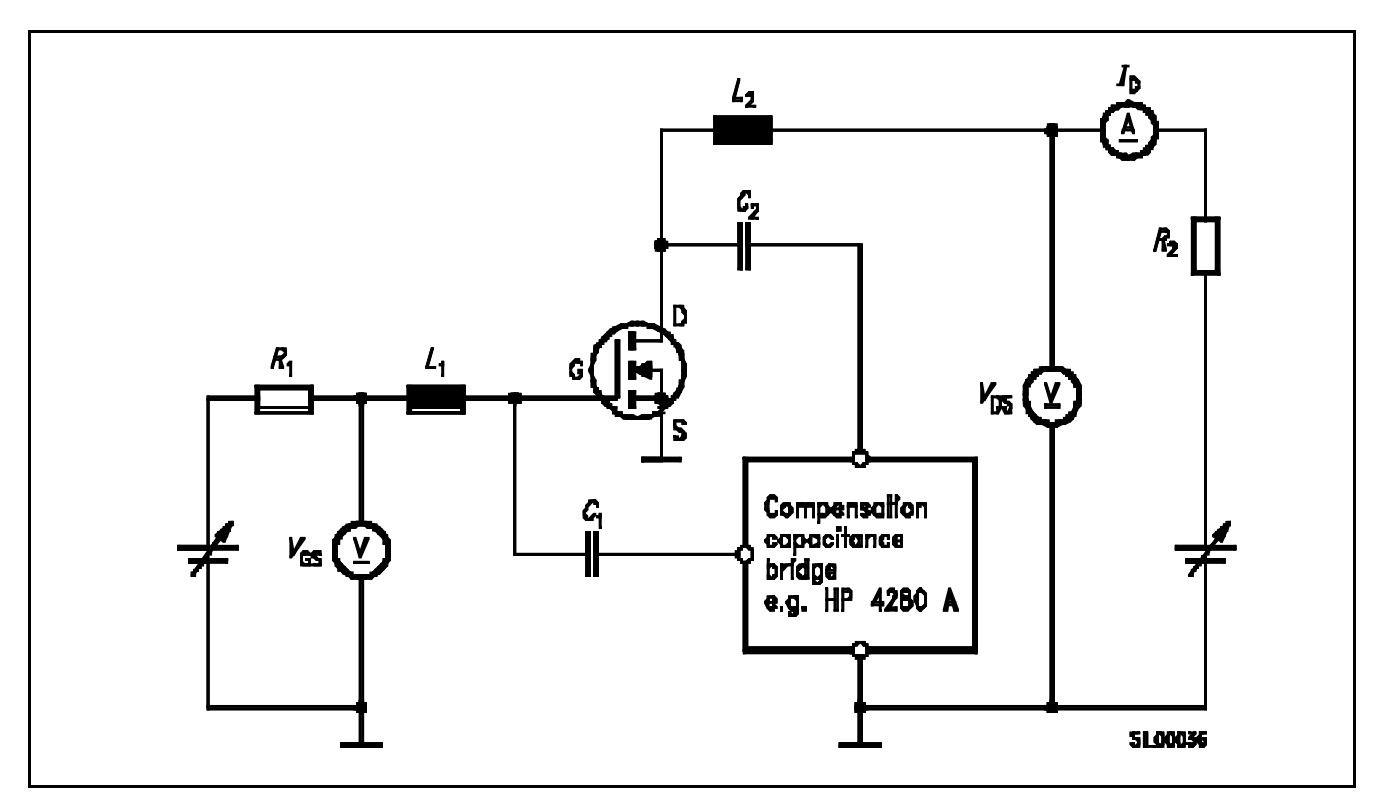


Bild 13 Prinzipschaltbild zum Messen der Rückwirkungskapazität $C_{\rm rss}$ beim Verwenden einer Meßbrücke ohne Gleichstromdurchgang

Die Kapazitäten C_1 und C_2 müssen für die Meßfrequenz einen ausreichenden Kurzschluß bilden. Die Induktivitäten L_1 und L_2 sollen die Gleichstromversorgung entkoppeln.

Figure 13
Basic Circuit Diagram for Measuring
Reverse Transfer Capacitance $C_{\rm rss}$ when
Using a Bridge without the Passage of DC
Current

Capacitors C_1 and C_2 must form an adequate short-circuit for the test frequency. Inductors L_1 and L_2 decouple the DC supply.